

SWIMS と ALMA でつなぐ系内外 のガス・星形成の統計研究

S. Komugi (NAOJ Chile Observatory)

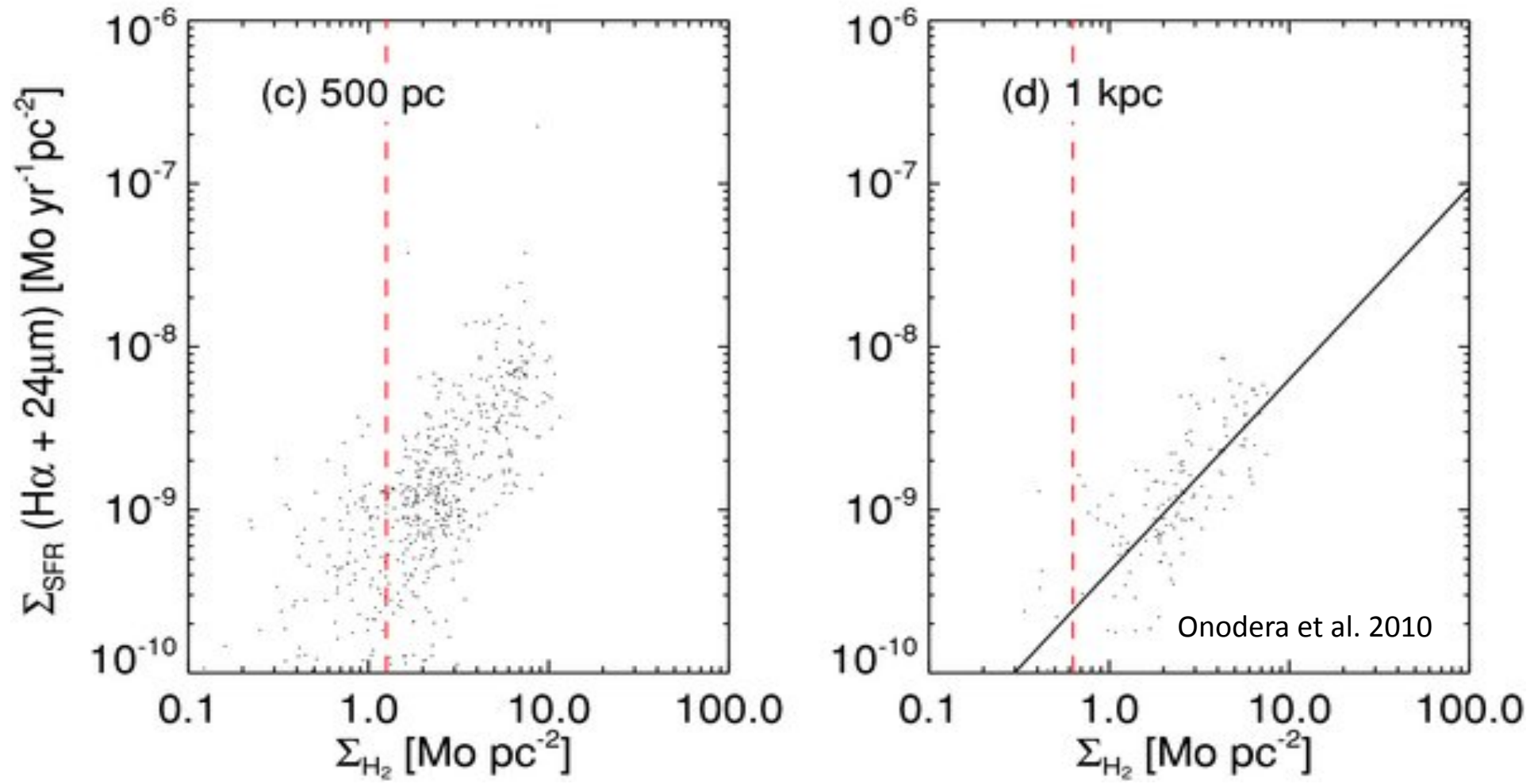
SWIMS Science WS, Aug. 5 2013 @ IoA-UT



観測提案

- SWIMSで近傍の銀河を Pa α NB imaging
 - みんなが基準にするようなサンプル数 ~200
 - 最初っからレガシー
-
- Local universeのSFRを個別領域で精密測定
 - 星形成-星間物質の相変化の統計的理解

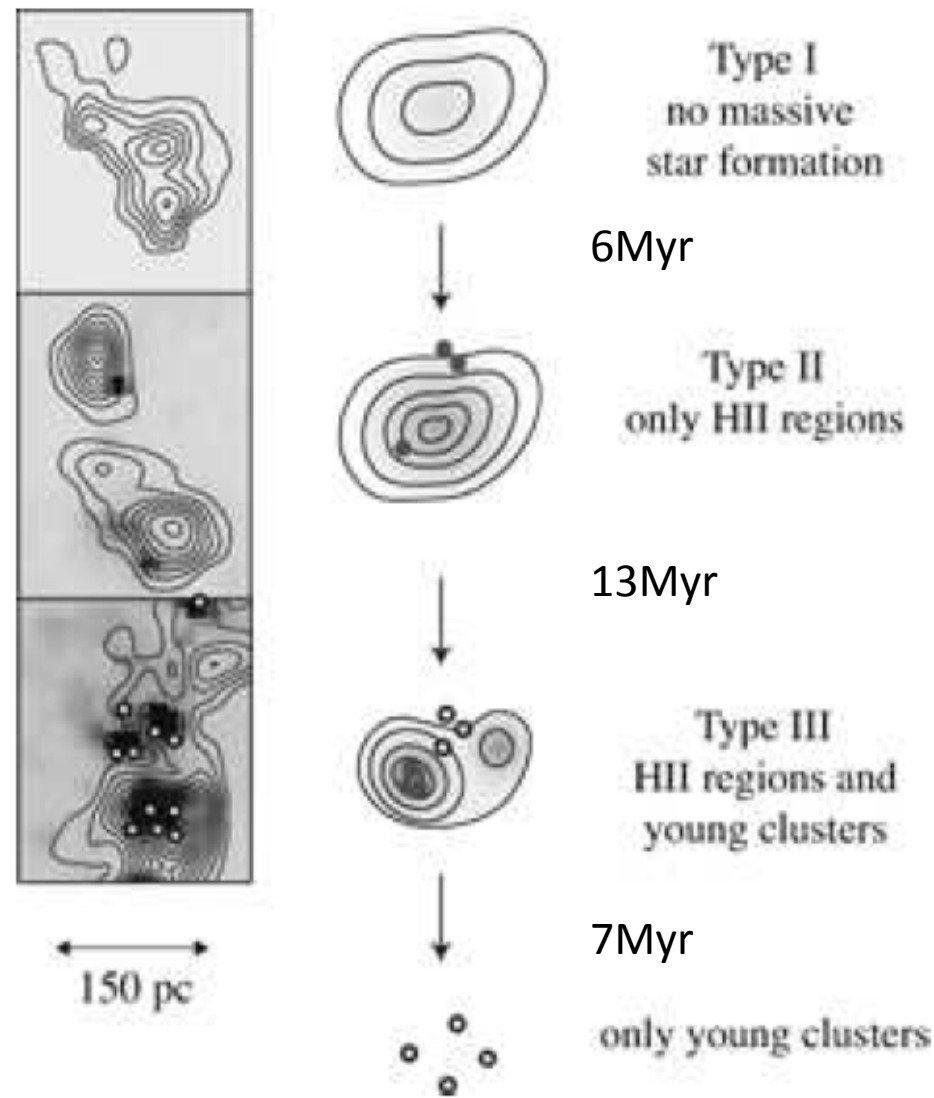
Schmidt-Kennicutt relation within M33



- 100パーセクスケールではSK則が壊れる
- 分子雲の平均に対する統計的性質としてのSK則

Schmidt-Kennicutt relation within M33

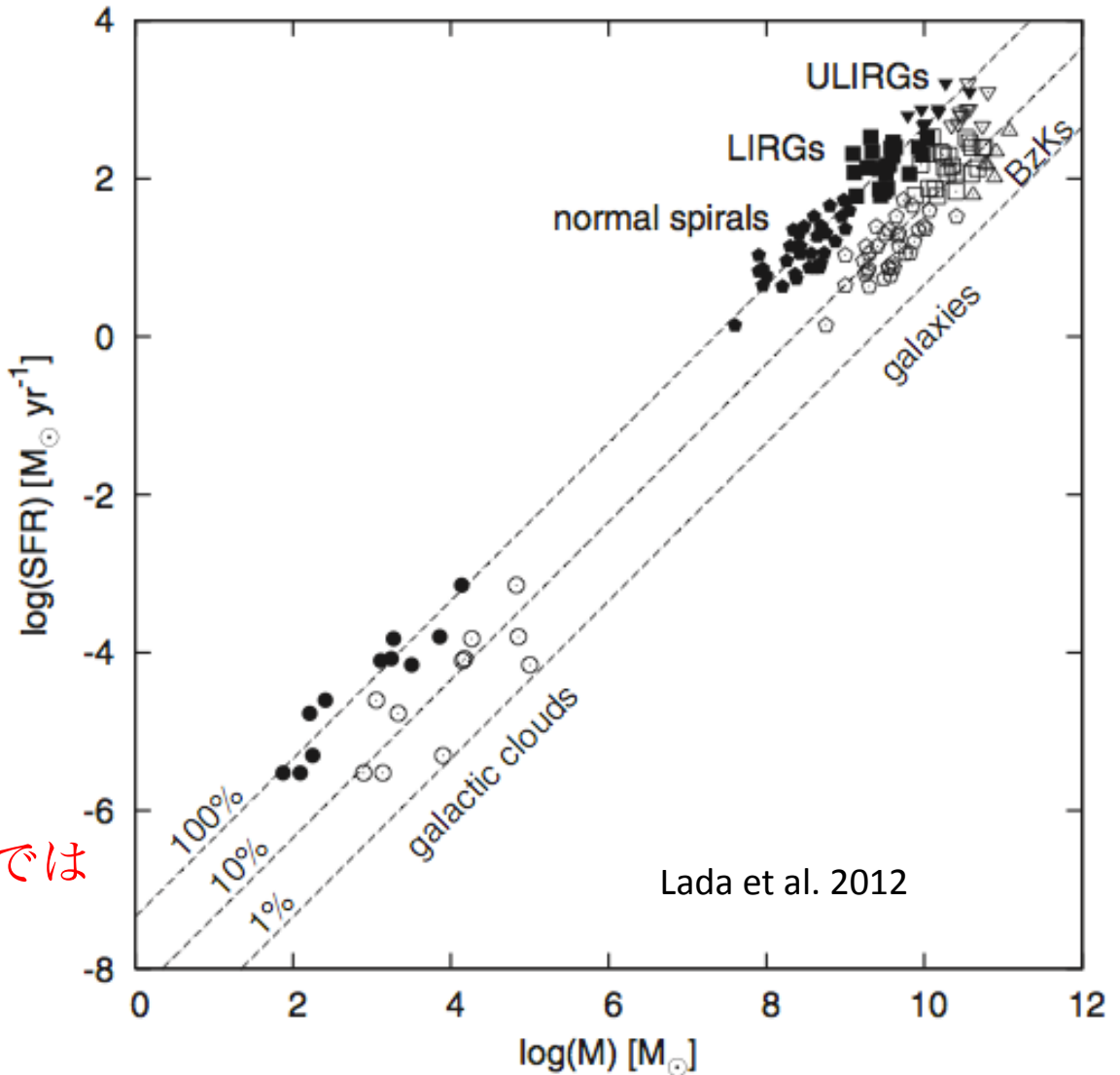
- 分子雲進化の影響?
10Myr程度で進化
(Kawamura+ 09, Miura+ 12)



Kawamura+ 2009

High density gas tracer vs. SF

- dense gasに対するlinearなscaling relation
(Gao+ 04, Komugi+ 07)
- dense gas fractionがSFをdriveしている(Lada)
- dense gas → SFのタイムスケールは一定？
- しかしscatterは有意
- タイムスケールの影響を確かめるためには、例えば“年齢のそろった星形成領域ではSK則は有意にtightである”を示してもいい。



Taffy I (VV254)

UGC12915

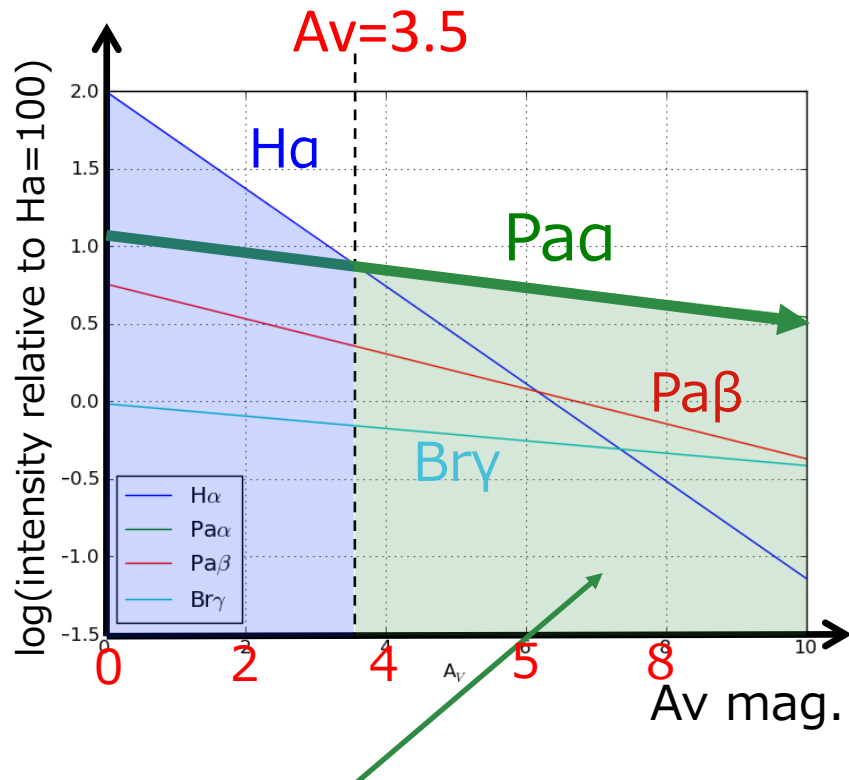
Giant HII region

UGC12914

Distance = 61Mpc

Interacting pair of UGC12914/5

Observing through dusty star formation using the Pa α Hydrogen recombination line



Pa α is strongest above $A_V = 3.5$

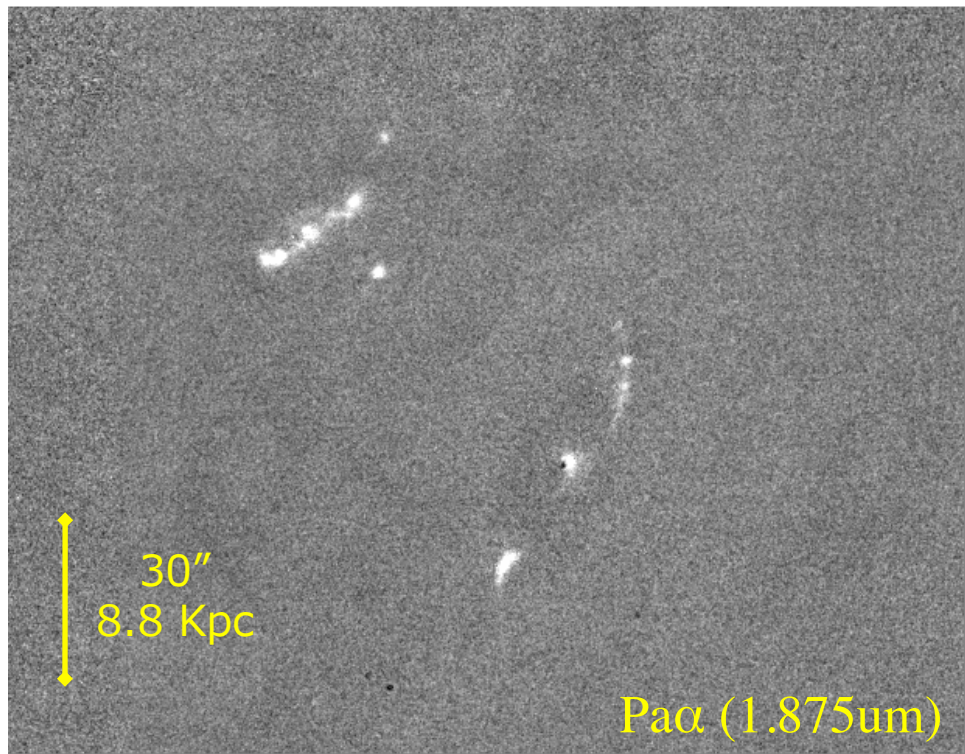
⌘ assuming CaseB $T = 10^4$ K

Pa α at 1.875um;

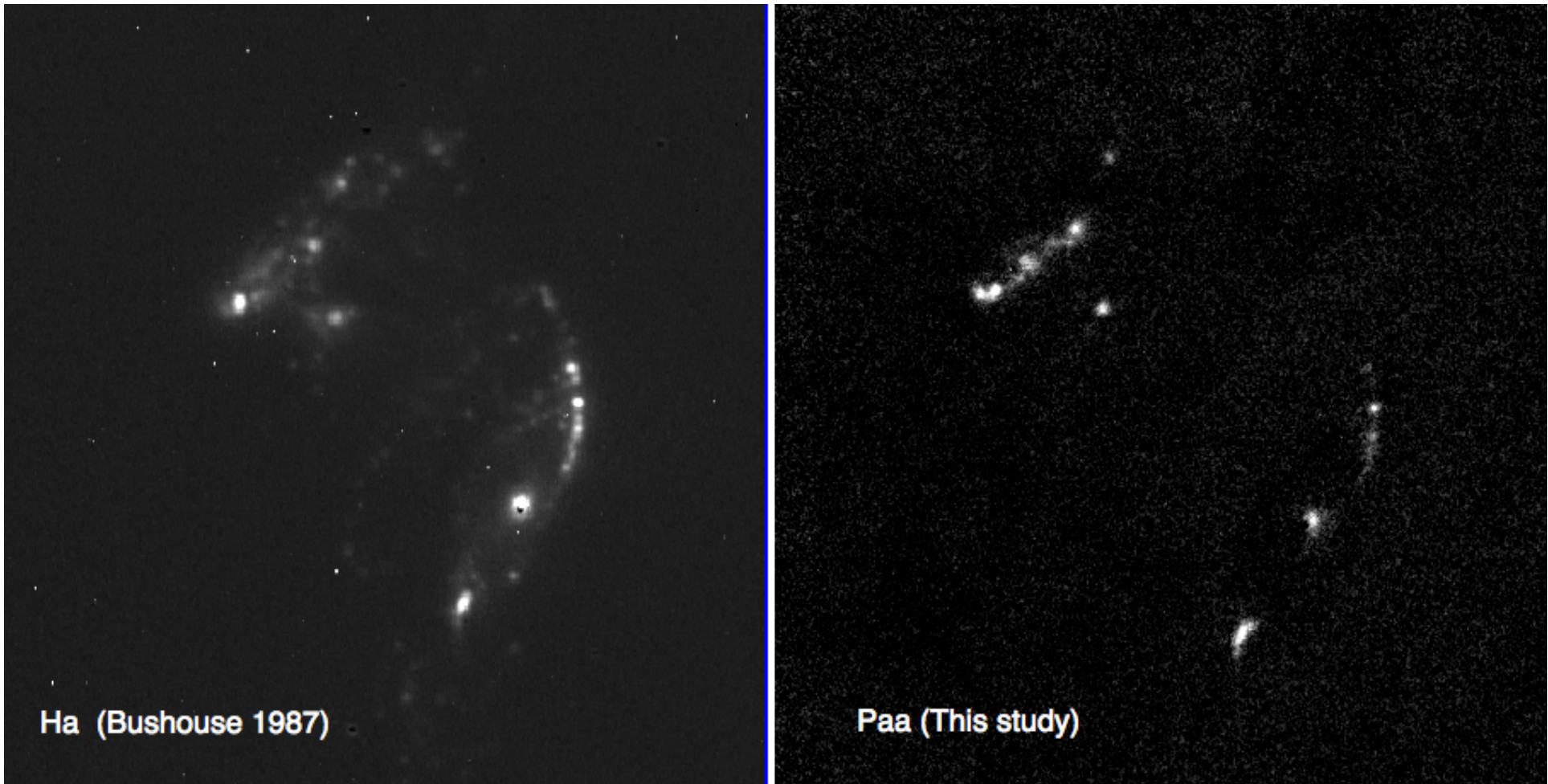
1. Directly trace star forming regions ~ 10 Myr old
2. Affected less by dust, especially Above $A_V = 3$ mag.
3. Strongest among recombination lines in the infrared
4. Severe water absorption at 1.8-1.9um

- Pa α (1.875 μ m) imaging w/ miniTAO-ANIR

- 2010 Oct.9, 16, 17 (3 nights)
- Pa α = 12420s, J = 540s, H, Ks = 2160s (used Pa α -off filter@1.91 μ m to cover redshifted line)
- Seeing \sim 0''.5
- Continuum subtraction using pseudo-continuum from H+Ks, atmospheric calibration using ATRAN model (Tateuchi et al. in prep.)

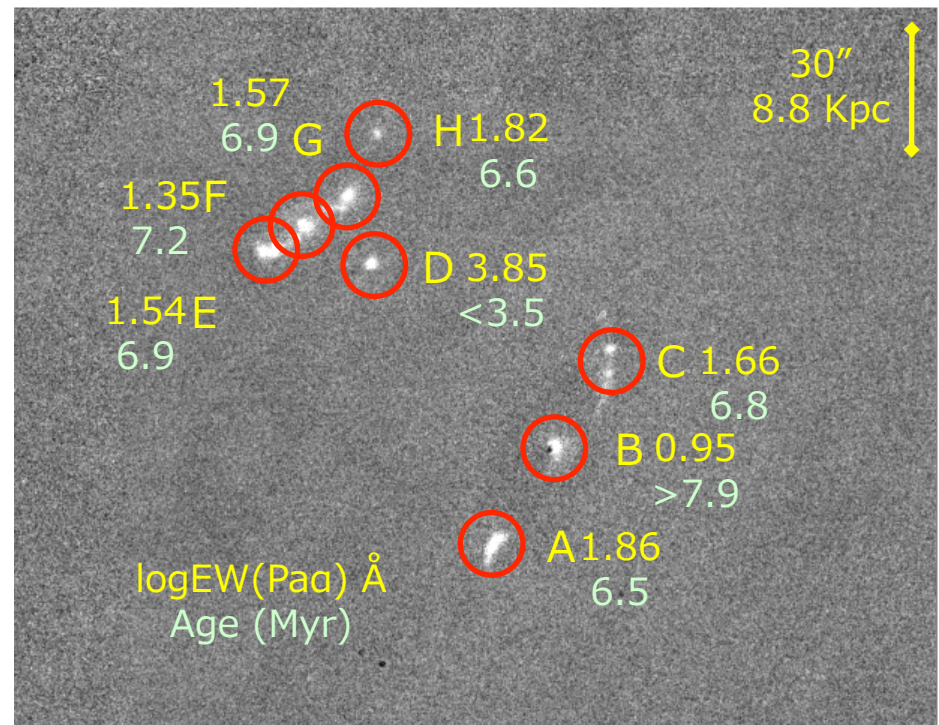


Star Formation in Taffy I

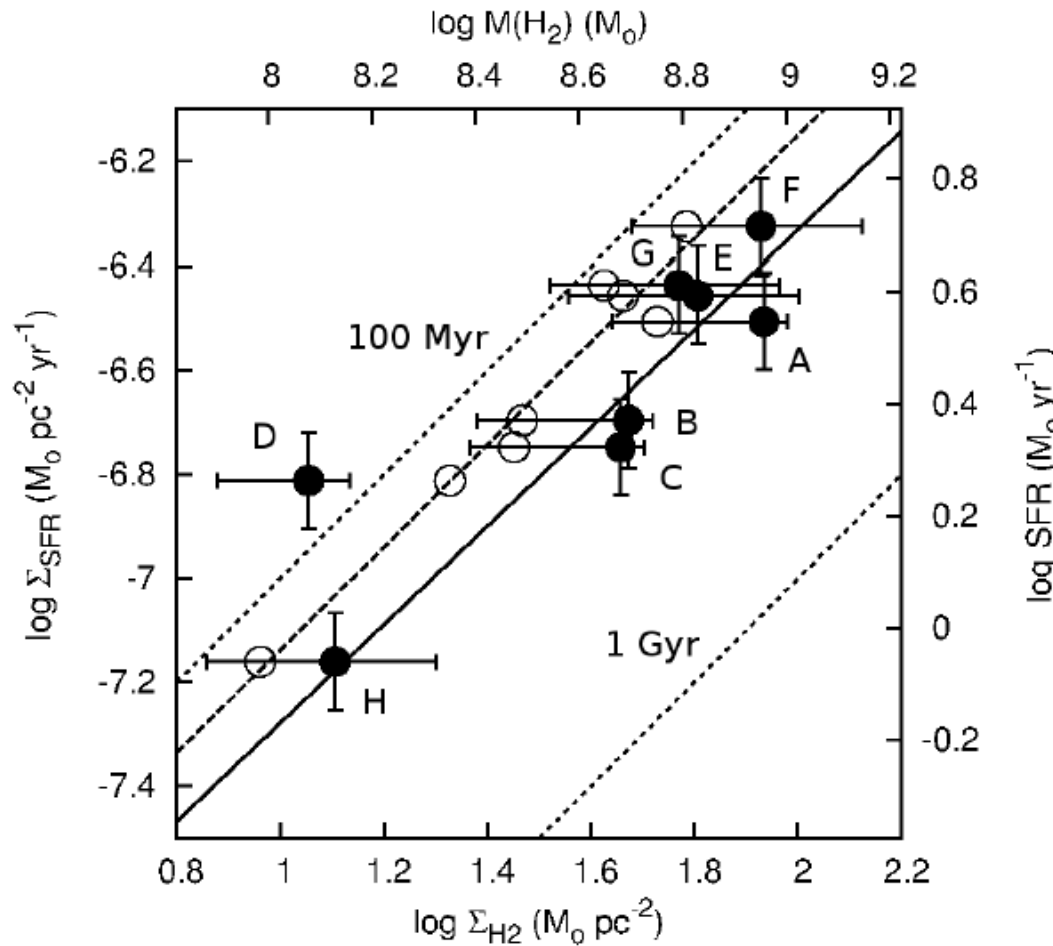


Paa blob age estimation

- Paa equivalent width $\text{EW}(\text{Paa})$
- $\text{EW}(\text{Paa})$ -age relation from Starburst99 model
(Leitherer+99, Diaz-Santos+10)
- 6/8 regions are ~ 7 Myr old
- bridge HII region is young
- blobs formed stars **AFTER**
the collision (20Myr ago),
AT ONCE except for the bridge



Matched-age SF relation in Taffy I



- small dispersion @ 700pc
 $\sigma = 0.06$ dex for constant X_{co} ,
 $\sigma = 0.1$ for varying X_{co}
c.f. $\sigma = 0.5$ in M51 (Liu+11)
 $\sigma = 0.4$ for M33 (Onodera+10)
- best fit is within uncertainties
(25% for SFR, ~factor 2 for X_{co})

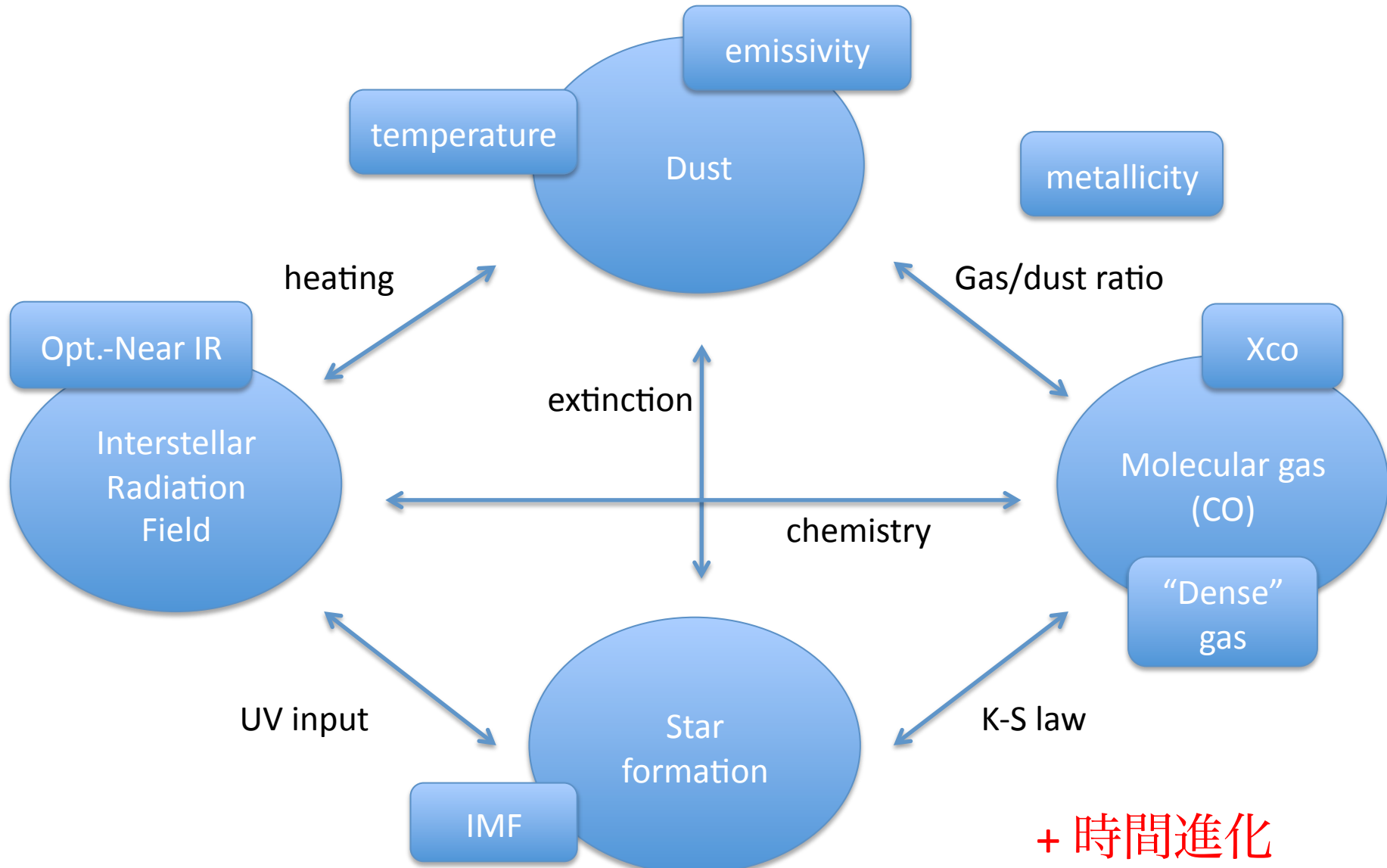
同年齢の星形成領域ではSK則は有意に分散が小さい

↓
SK則の局所スケールでの分散は、GMCの年齢が関係している。

SWIMSの利点

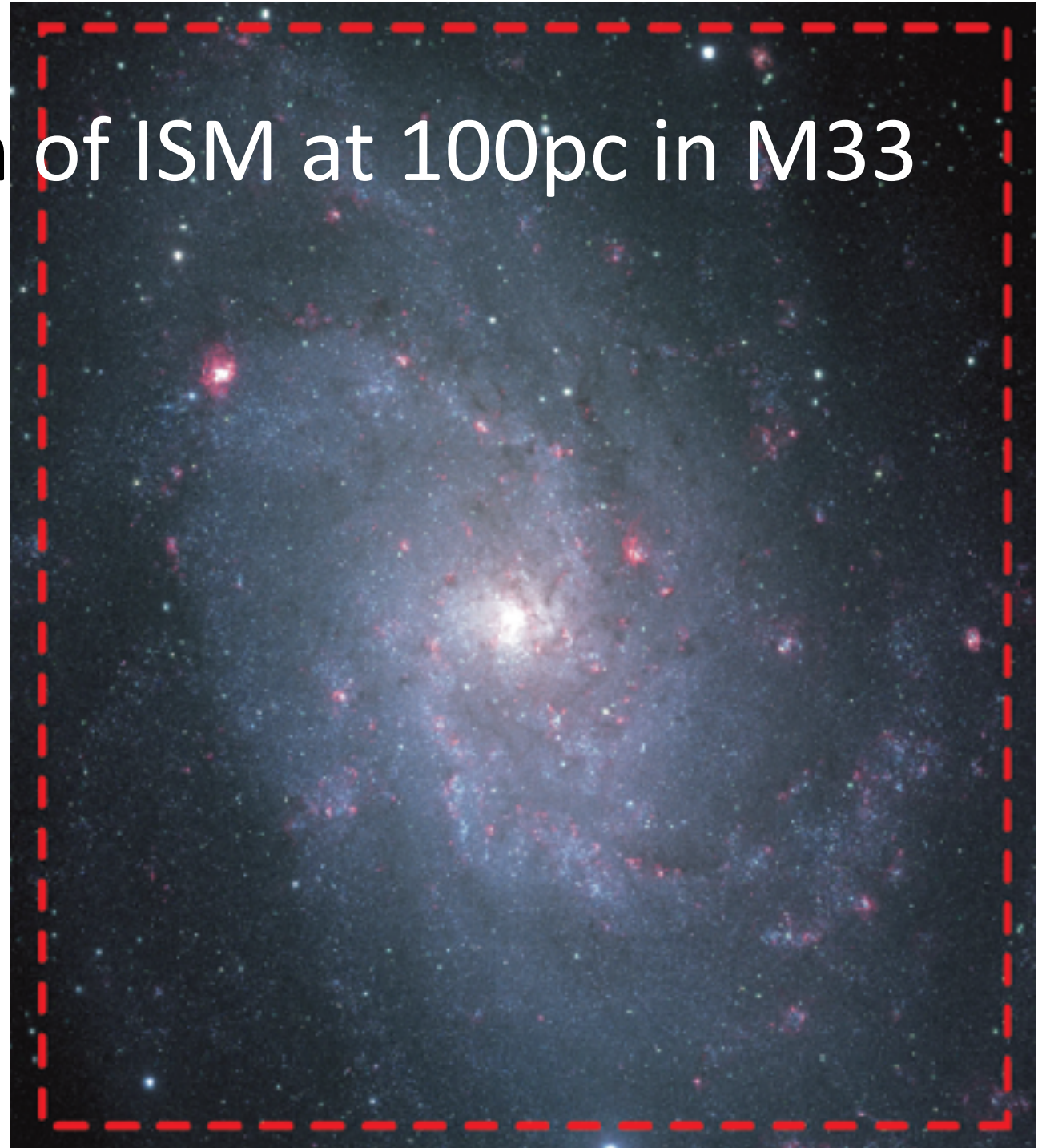
- Pa α のnarrow band imagingが出来る
 - ダスト減光が少ない (H α があればなお吉)
 - 簡便な星形成領域の年齢評価
- 視野が広い
 - ANIR: 5', SWIMS : 6-9', HST : 1', JWST : 2'.2

The ISM at GMC scales



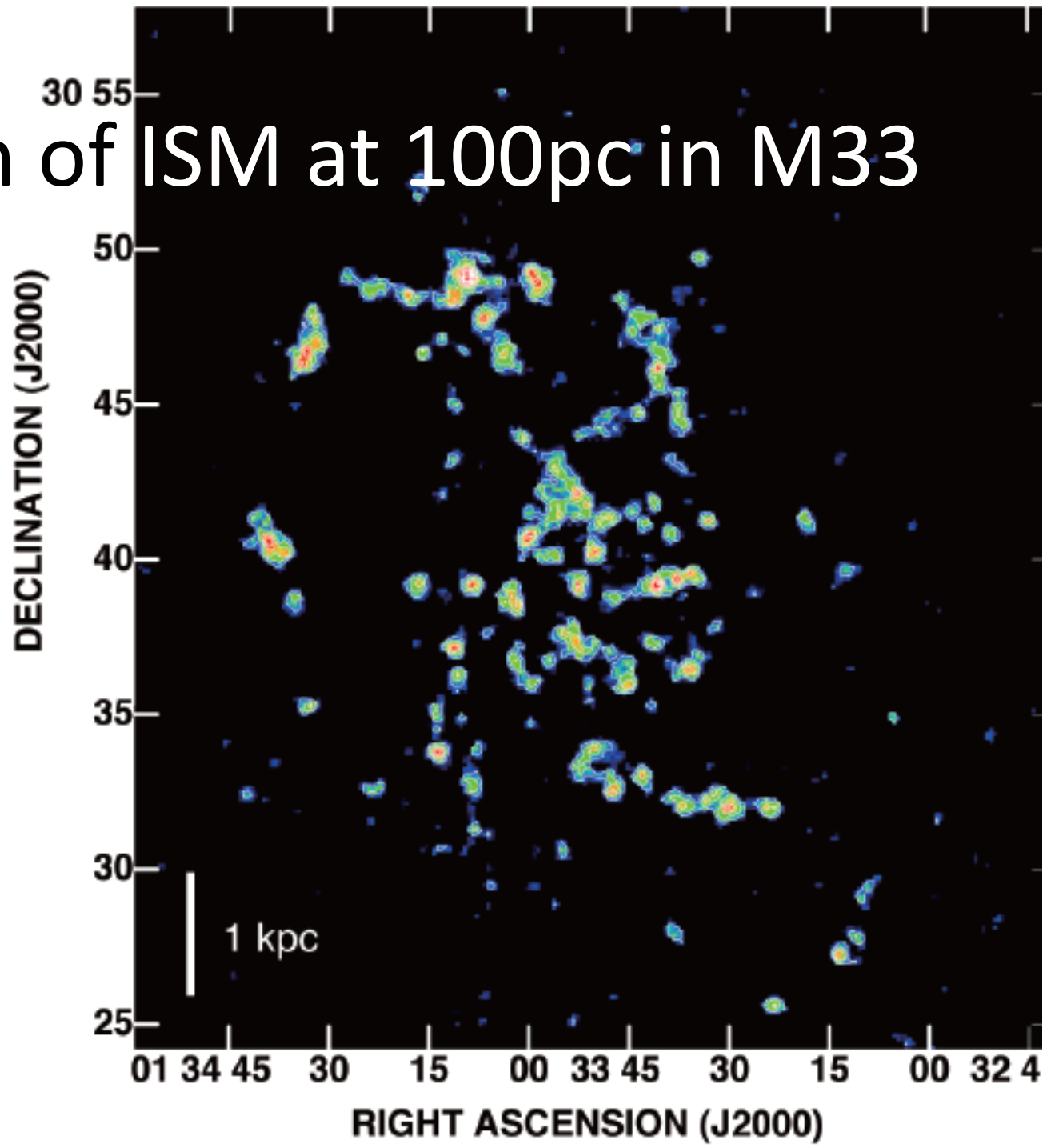
Interaction of ISM at 100pc in M33

UBVRI @ Subaru Suprime-Cam
Arimoto et al.



Interaction of ISM at 100pc in M33

$^{12}\text{CO}(J=1-0)$ @ NRO 45m
Tosaki et al. (2011)
Catalog in progress

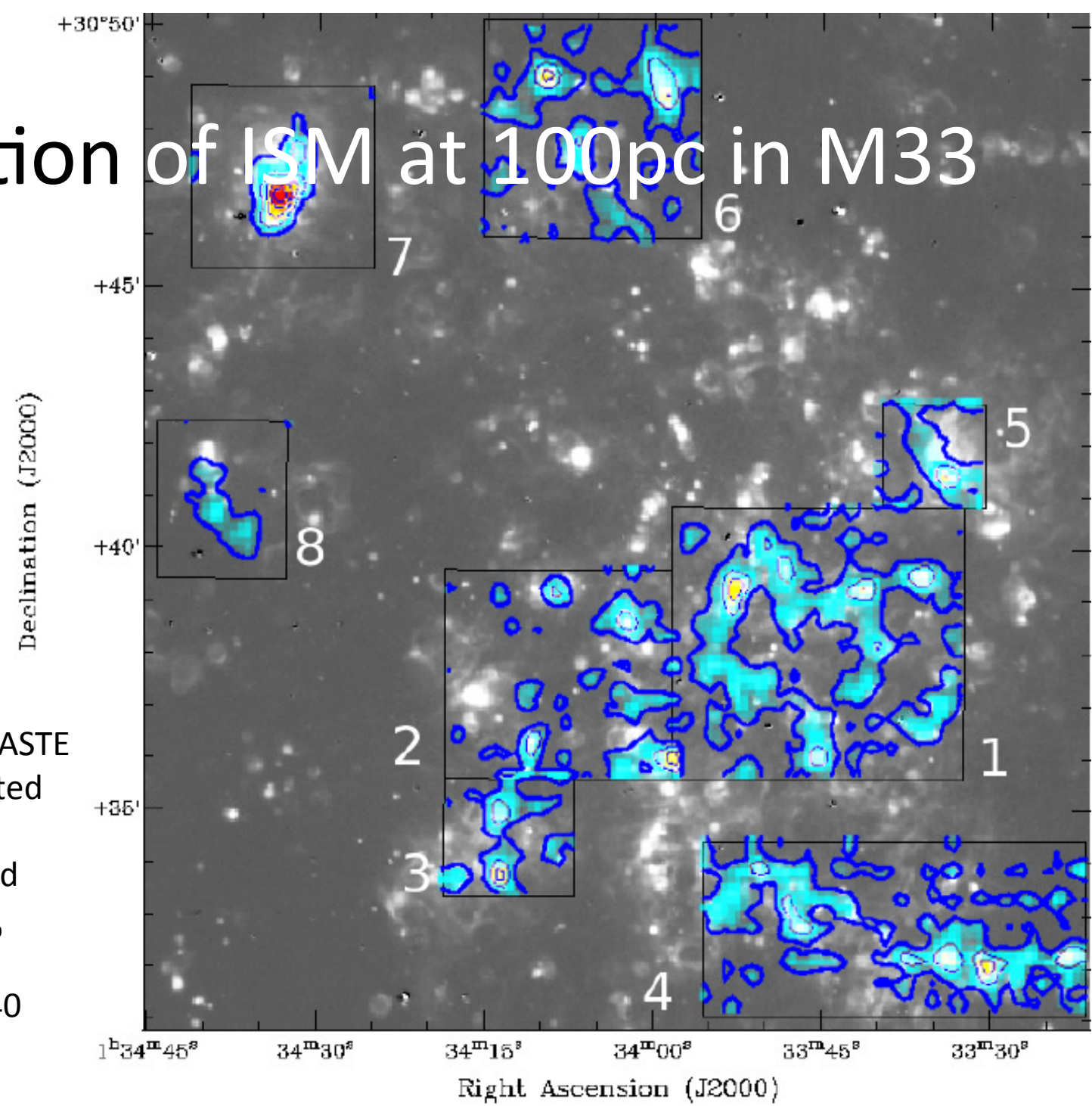


Interaction of ISM at 100pc in M33

$^{12}\text{CO}(J=3-2)$ map @ASTE
Miura et al. submitted

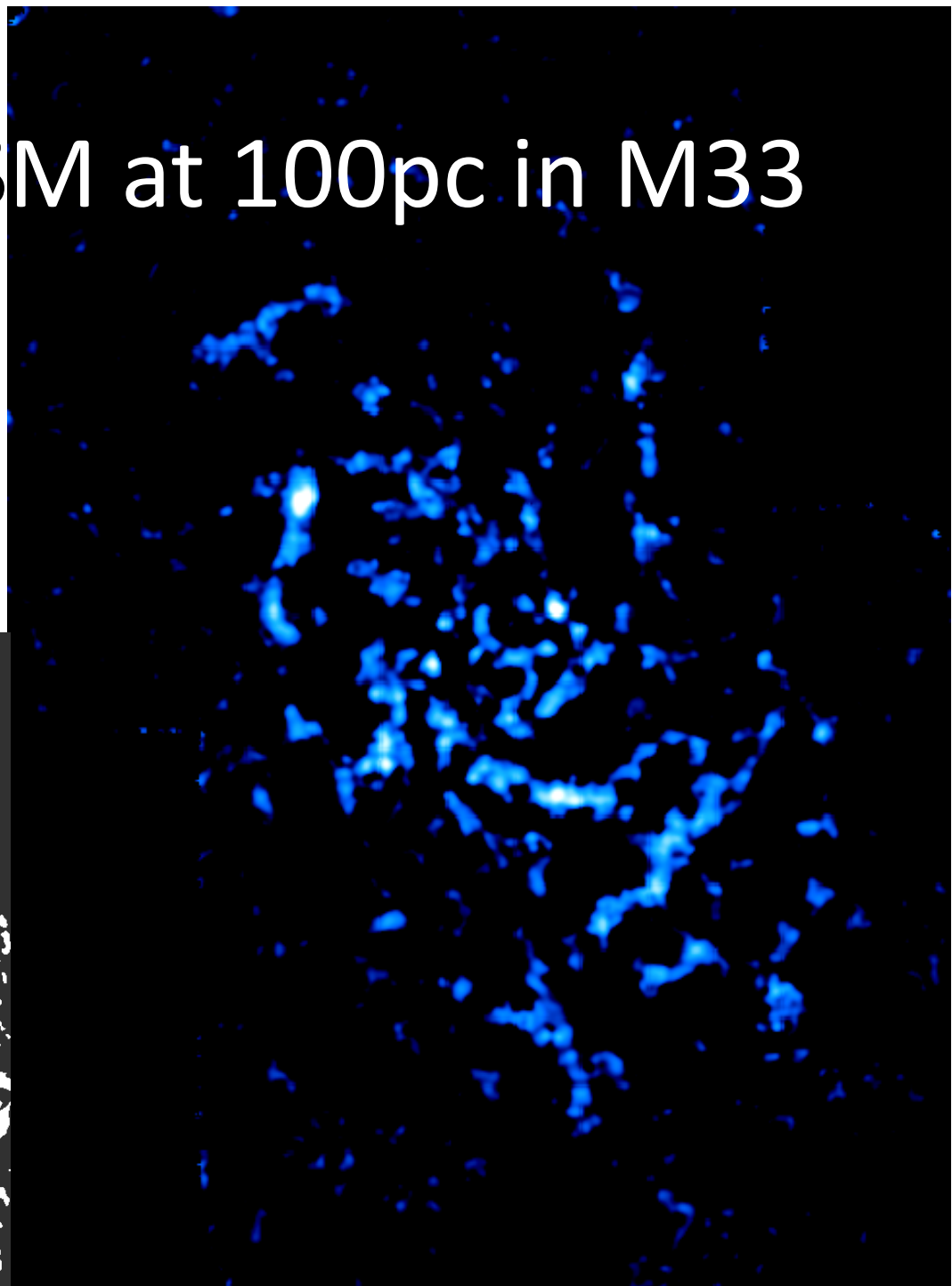
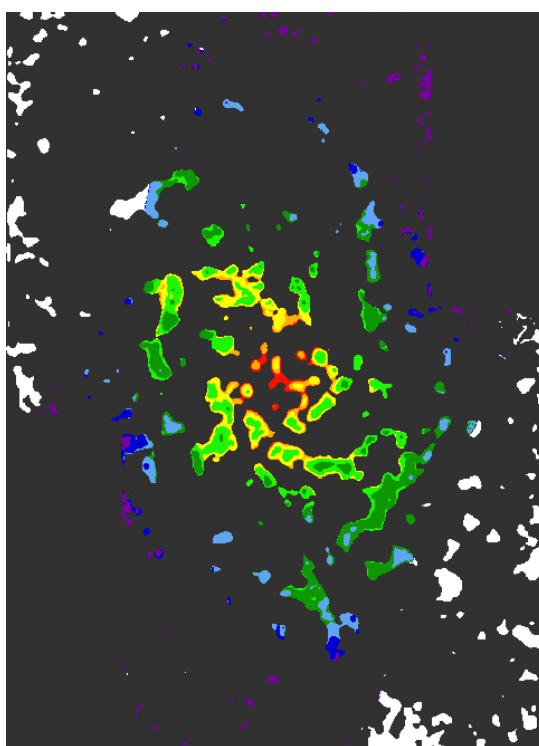
71 GMCs catalogued
 L_{co} , r_{maj} , r_{min} , σ_v , T_{mb}

Radius range 20 ~ 40



Interaction of ISM at 100pc in M33

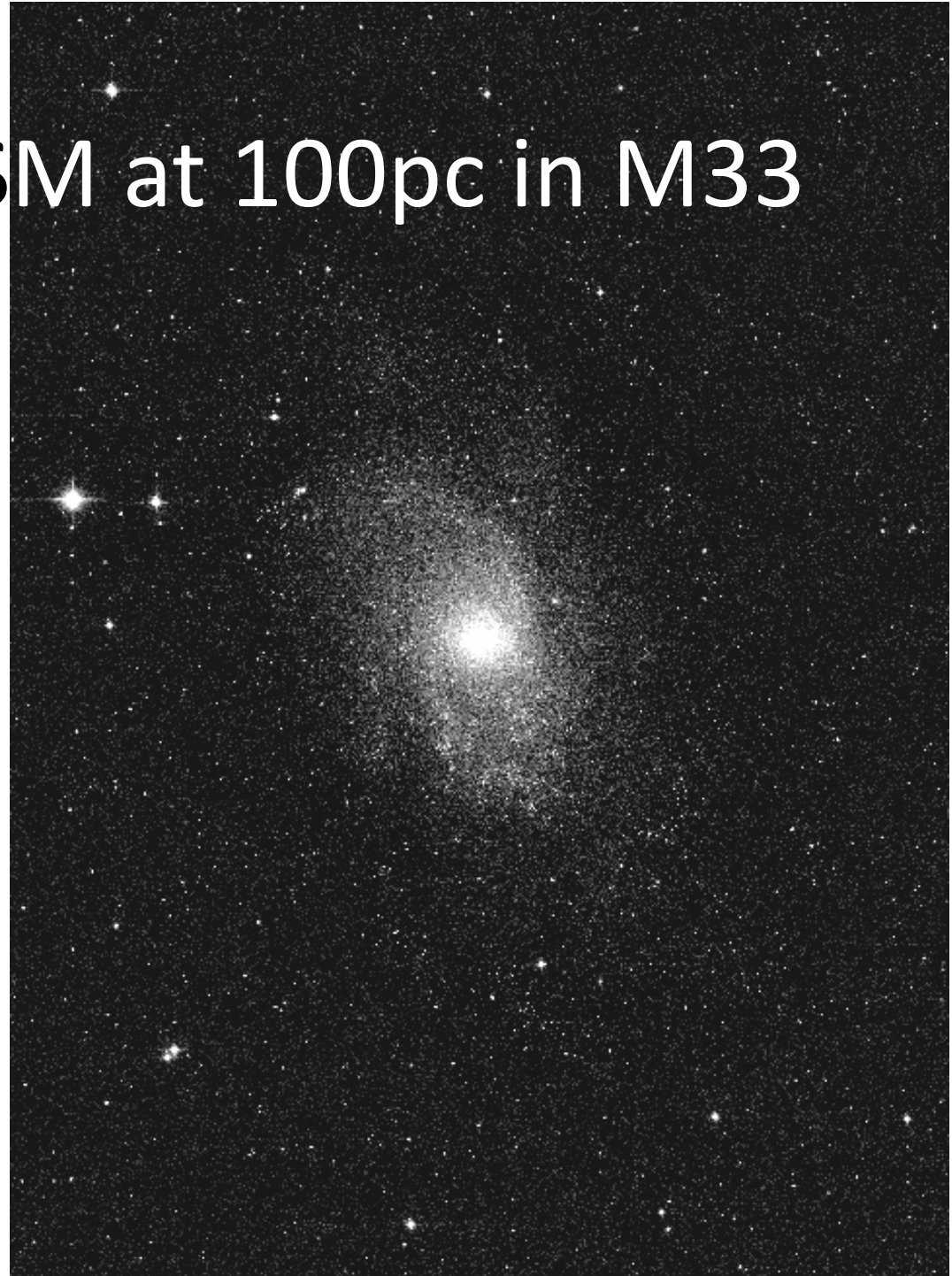
1.1mm and dust temperature map
ASTE and Spitzer 160um
Komugi et al. (2011)



Interaction of ISM at 100pc in M33

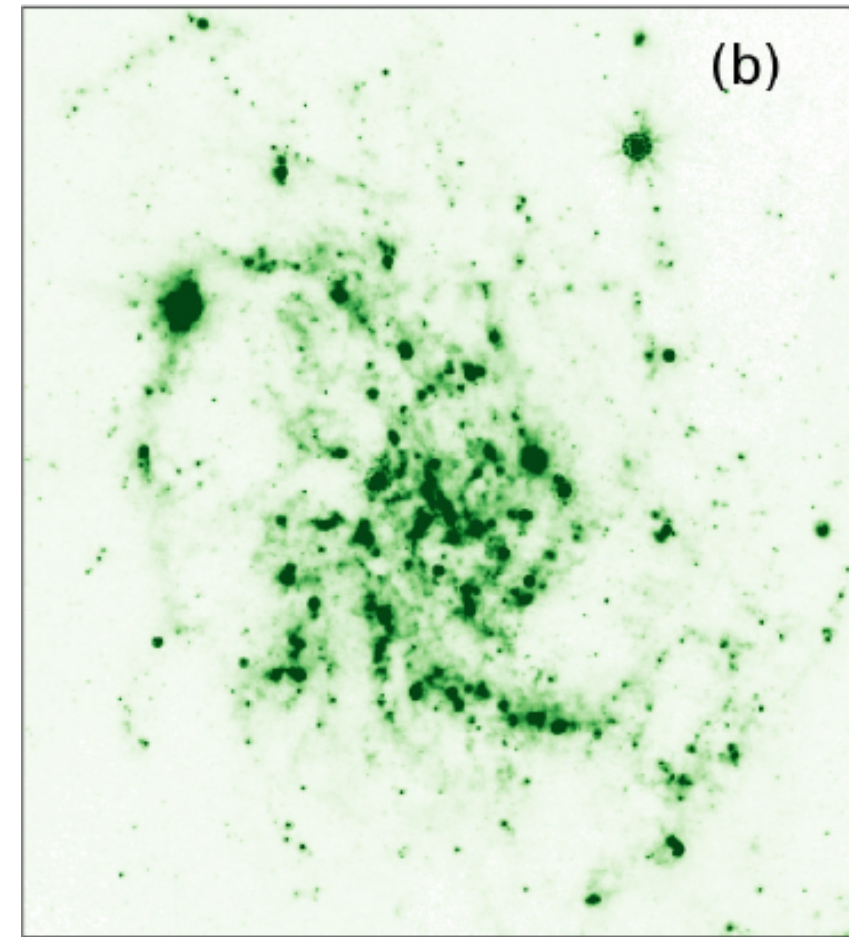
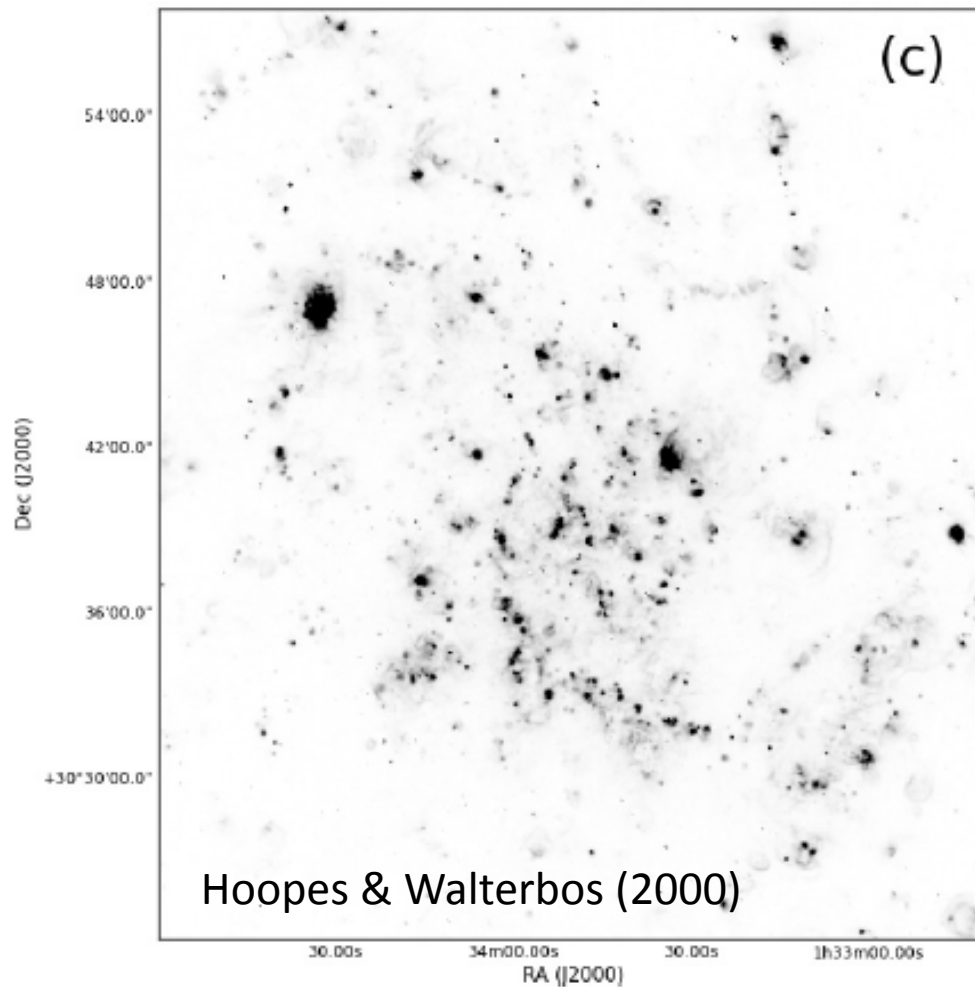
Ks band 2MASS image (2.1um)

Flux from old stellar populations



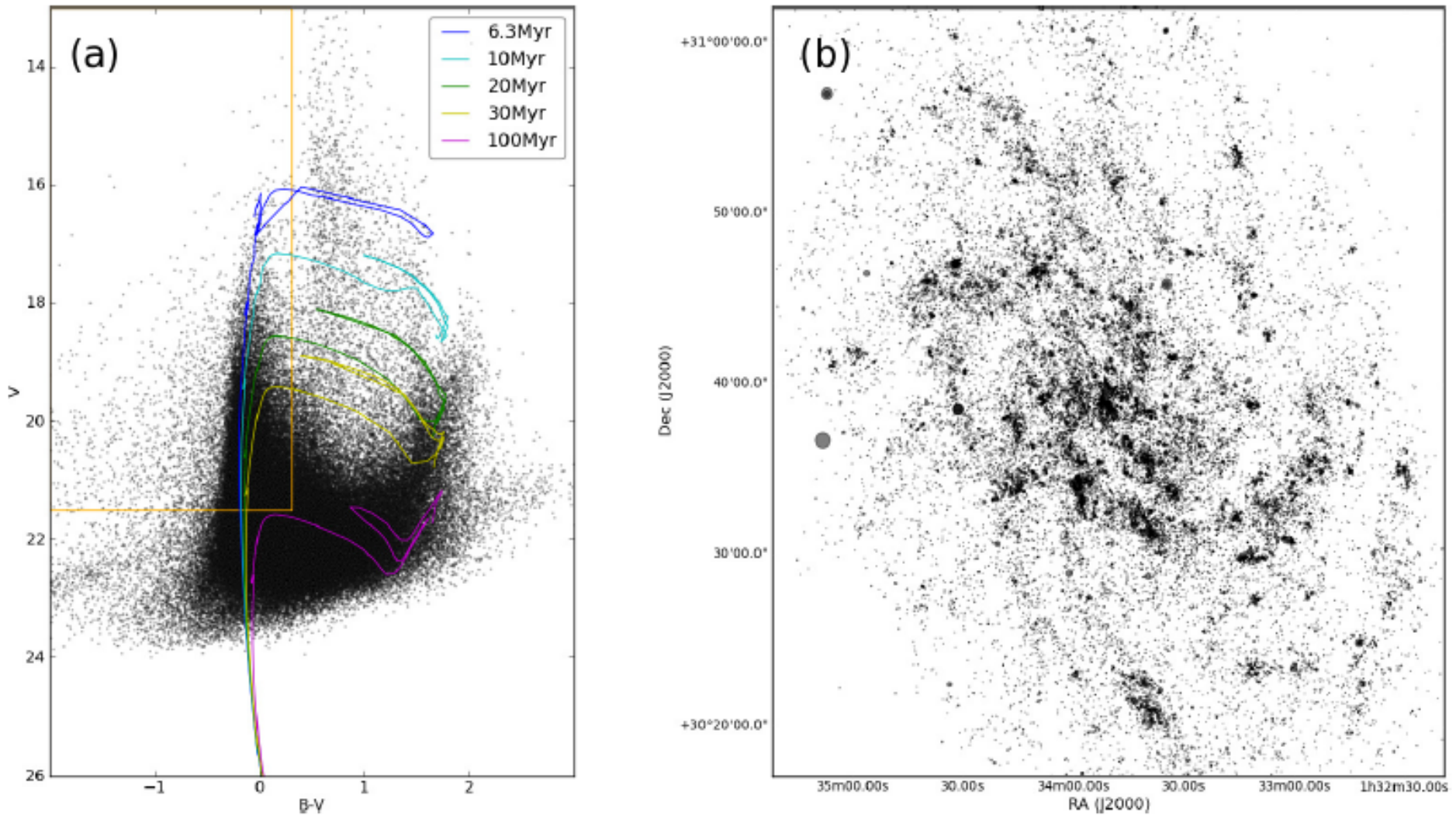
Interaction of ISM at 100pc in M33

SFR = $L(H\alpha) + 0.031 L(24\mu m)$: Calzetti (2007)



Interaction of ISM at 100pc in M33

BVRI Massey et al. (2006) and Padova Tracks



Interaction of ISM at 100pc in M33

GMC TYPE AND EVOLUTION OF THE GMCs

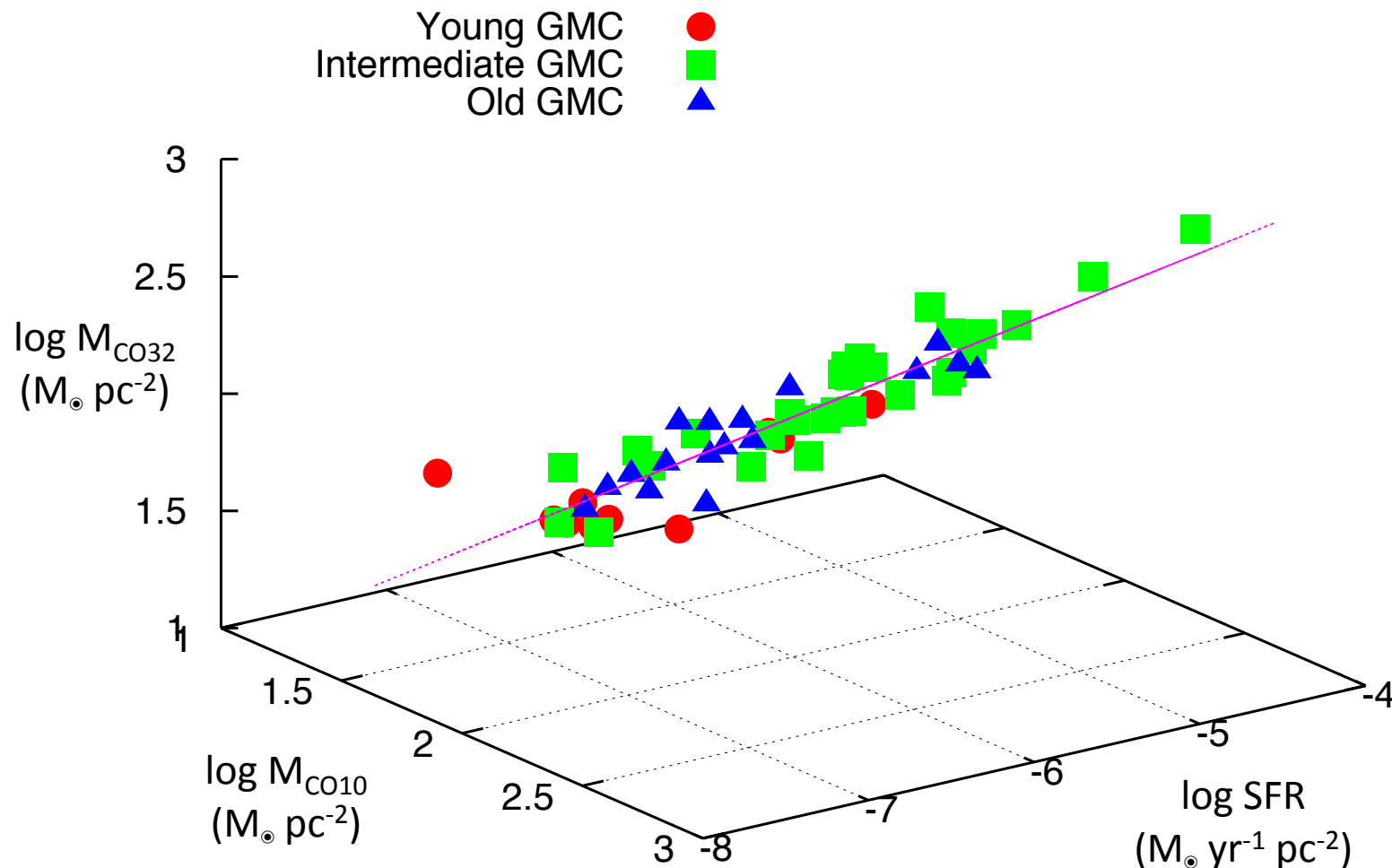
GMC Type	Observed Signature	Number of GMCs	LMC ^a
A	No HII regions or young stellar groups	1 (2%)	46 (24%)
B	With HII region(s), but no young stellar groups	13 (20%)	96 (50%)
C	With HII region(s) and young (<10-Myr) stellar group(s)	29 (45%)	49 (26%)
D	With HII region(s) and relatively old (>10-Myr) stellar group(s)	22 (34%)	...

^aGMC Type in LMC (Kawamura et al. 2009). The definition of Types A, B and C in our classification correspond to their Types I, II and III, respectively.

57 GMCs with $^{12}\text{CO}(J=1-0)$	→	M_{10}	: total molecular gas
$^{12}\text{CO}(J=3-2)$	→	M_{32}	: dense molecular gas
1.1mm	→	M_{dust}	: dust mass (using T_{cold} map and $\beta=2$)
Ks band	→	K	: measure of ISRF from old stellar pop.
H α , 24um	→	SFR	: star formation rate (UV photon)
Type	→	B, C, D	: evolutionary stage

主成分解析を使って重要なパラメータを選定 → 2つの"平面"

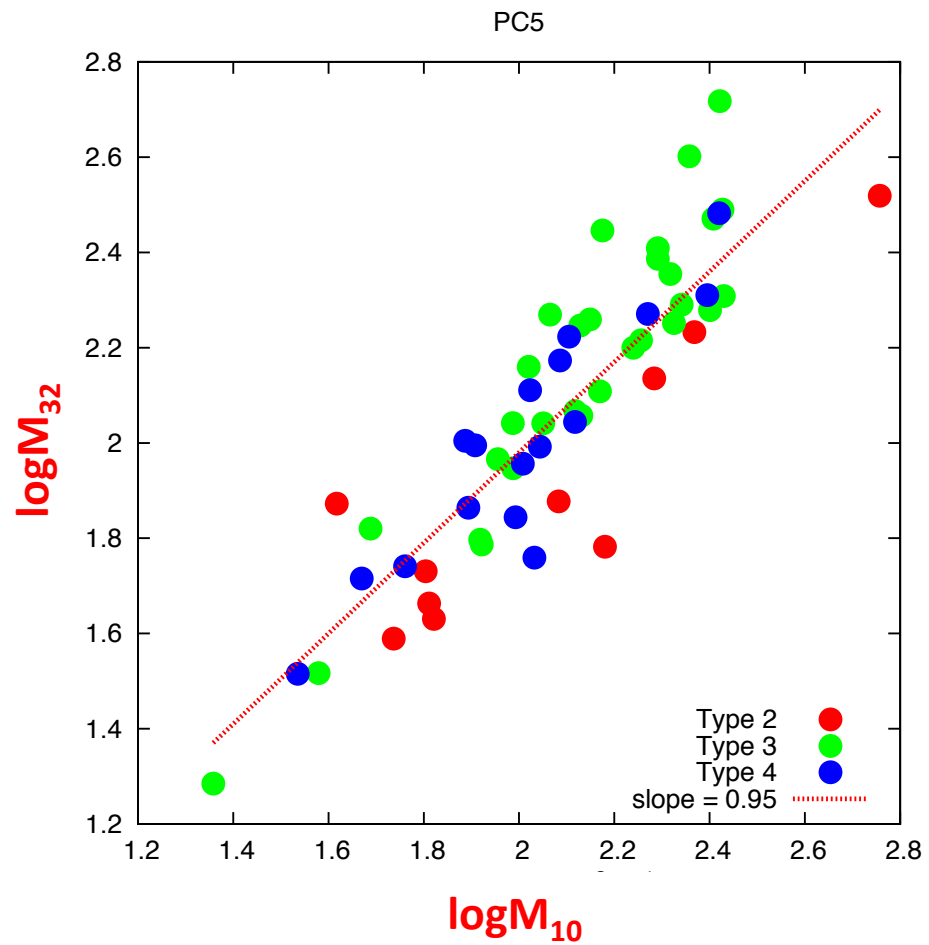
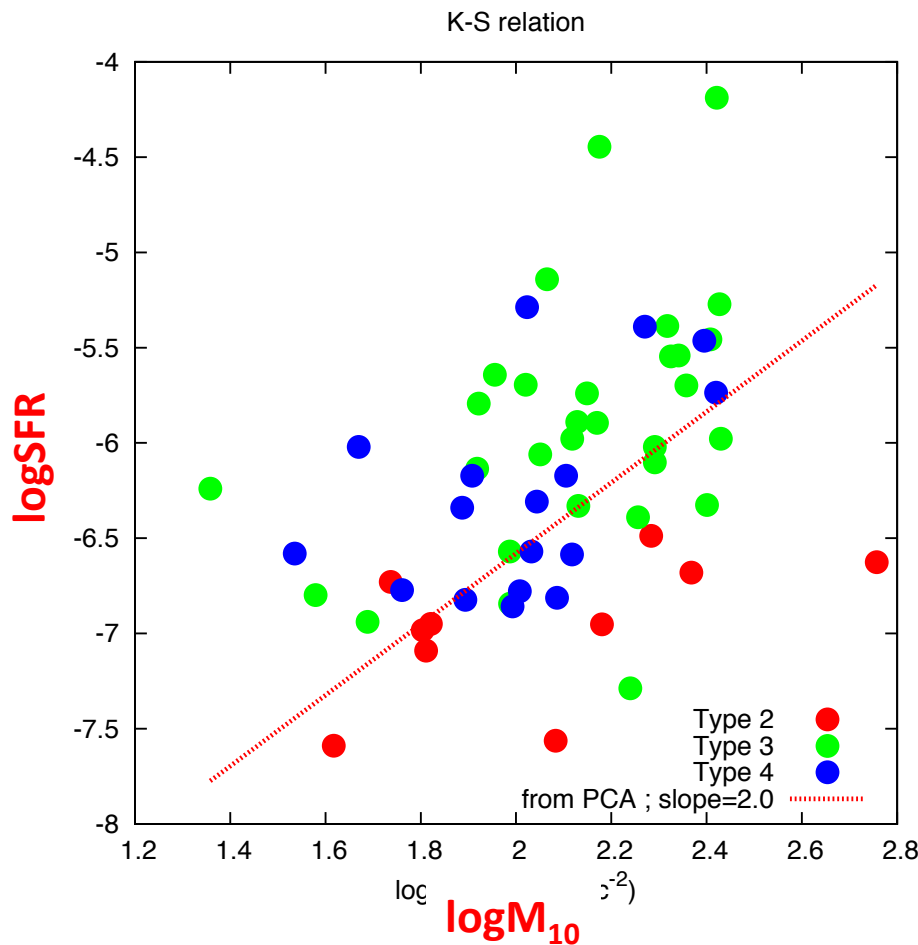
PC5 : SFR-M_{CO32}-M_{CO10} plane



$$\log M_{32} = (0.86 \pm 0.06) \log M_{10} + (0.12 \pm 0.02) \log \text{SFR} + 1.0 \pm 0.02$$

scatter = 0.1 dex

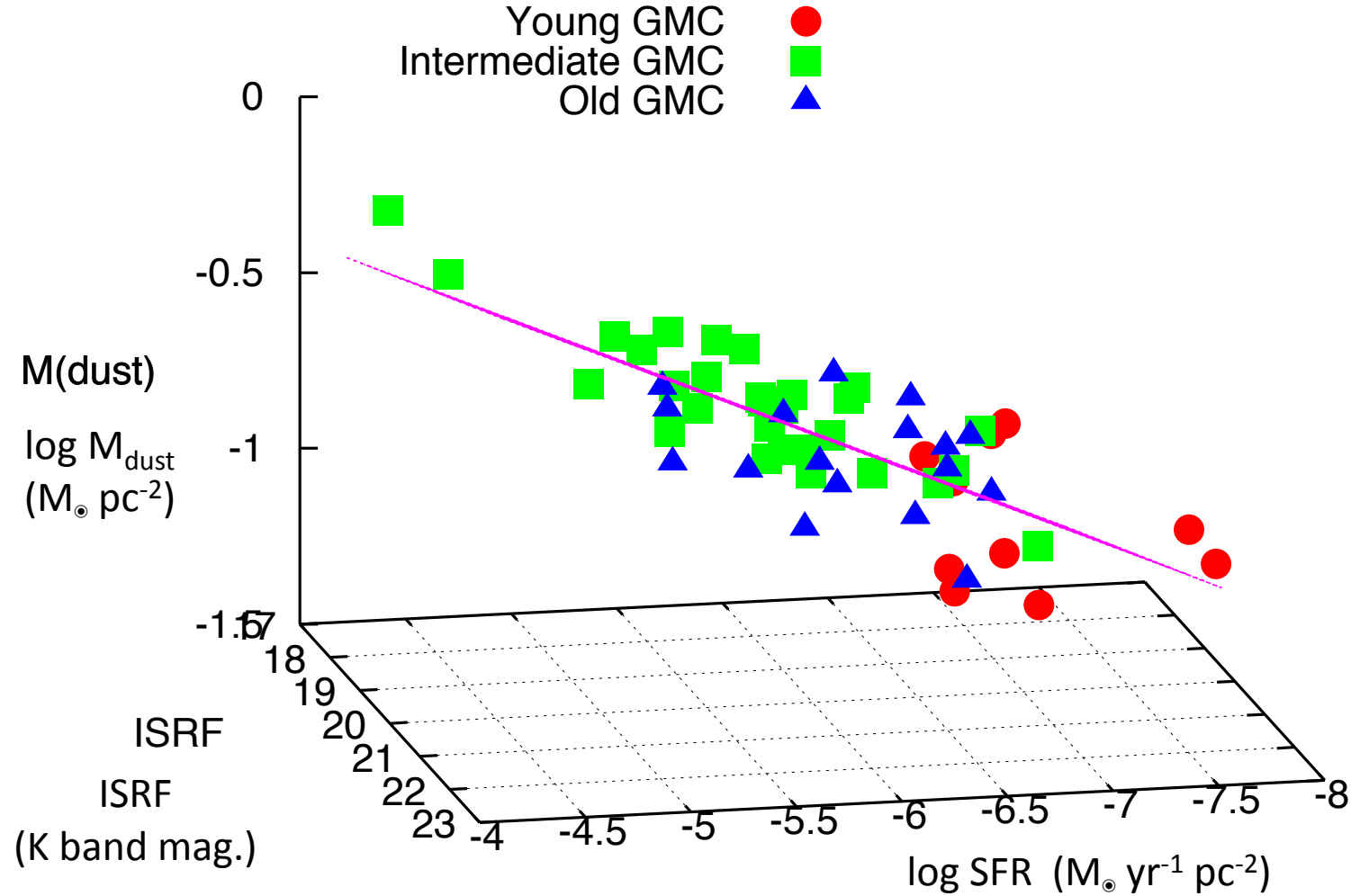
KS law revisited



PC5 : SFR- M_{CO32} - M_{CO10} plane

- 従来のSK則の多変数への拡張
- 100pcスケールではSK則は”CO32/CO10比がSFRによってmodulateされたもの“と表現できる

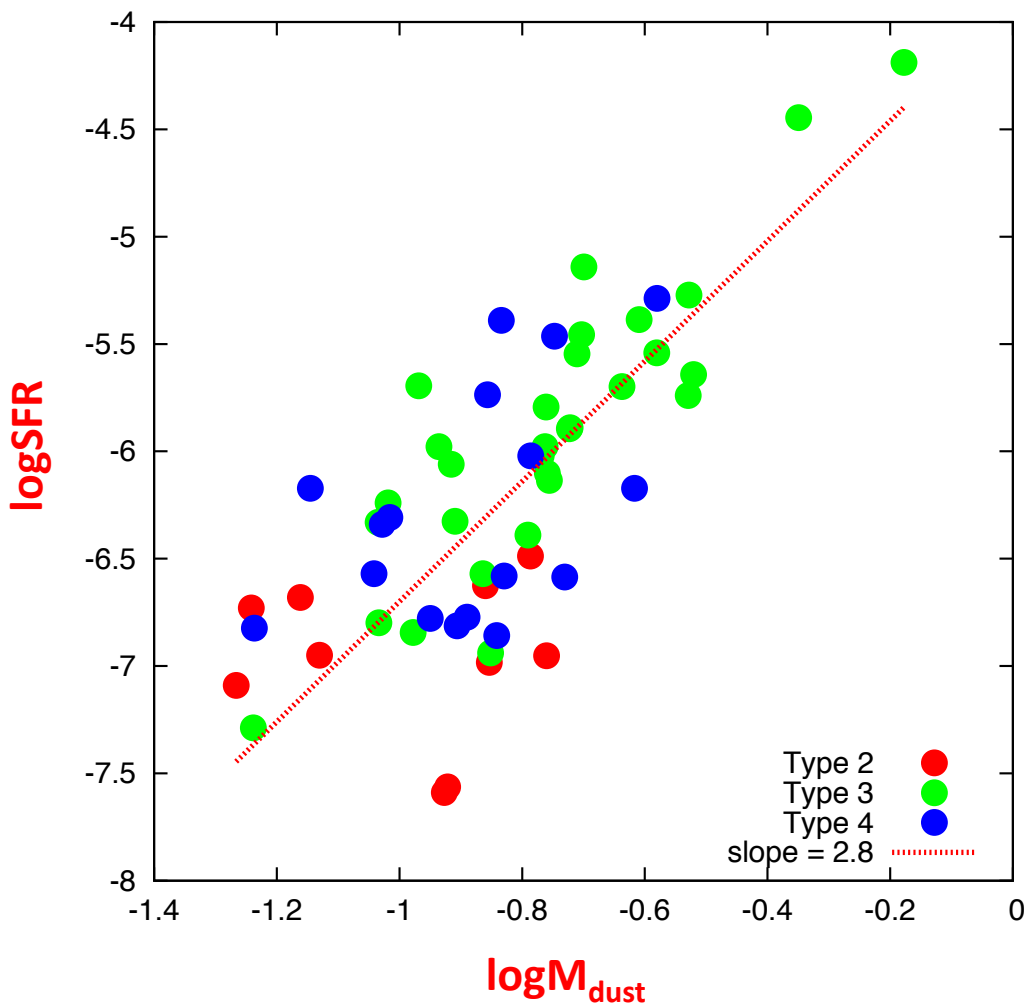
PC4 : SFR- M_{dust} - K_S plane



$$\log \text{SFR} = (2.4 \pm 0.3) \log M_{\text{dust}} - (0.23 \pm 0.06) K_{\text{mag.}} + 0.15 \pm 1.2$$

scatter = 0.4 dex

SFR-dust relation



PC4 : SFR- M_{dust} - K_S plane

- SFR- M_{dust} 関係はSFR- $M_{\text{CO}32}$ やSFR- $M_{\text{CO}10}$ よりも tight
- GMC進化をPC4平面上での移動として追う事ができる。

SWIMSへ。

- 星間物質+星形成相の”基本平面”のようなモノ
 - サブサンプルを積分する事でこれまでのscaling relationを統一的に理解できる（はず）→ e.g., galaxy main sequence
 - 空間分解できない銀河の内部の性質へ示唆を→銀河進化
- ただしM33でのcase studyなので一般化したい
 - 主成分解析はパラメータ追加の拡張が単純
 - サンプル数の増大がカギ
- 系外銀河の高分解能(100pc)観測
 - 年齢の評価、SFRの見積もりがネック → Pa α
 - 高分解能のガス／ダストデータ取得の必要

観測提案

- GEISHA :
Galaxy Evolution, Interstellar medium and Star formation History study
from Atacama
- SWIMSで近傍銀河を Pa α (+ Pa β) NB imaging
- 他(e.g., JWST)の追隨を許さないサンプル
 - ~100銀河、数1000星形成領域 → 幅広いパラメータースペース
 - 広視野を生かした近い銀河（個別領域を同定）
 - e.g., $F_{\text{(IRAS}60\mu\text{m)}} > 5\text{Jy}$, $V_{\text{lsr}} = < 1500 \text{ km/s}$ で 190 天体
 - 新規のNBフィルタ制作も念頭に。
 - いろんなサイエンスに使える。世界に公開。
 - JWSTとの相補性→もちょっと遠いサンプルを。
- ALMAでのCOや他dense gas tracerの観測
 - 輝線、ダスト連続波の同時取得。ACA使用。